

表面物理和表面分析技术

讨论会资料

下册

中国真空电子学会

北京电子学会

一九八二年九月

表面分析在光电阴极研究中的应用

吴全德

(北京大学无线电电子学系)

目 录

一、引言	元
二、多碱光电阴极的表面研究	元
三、银氧化铯光电阴极的表面研究	· 8
四、硅(100)面的原子结构	· 10
五、GaAs表面的原子结构	· 16
六、硅和砷化镓的表面态	· 18
七、GaAs(110)面的铯吸附	· 19
八、表面分析技术在负电子亲合势光电器件研究 中的应用	· 21
九、结束语	· 24

表面分析在光电阴极研究中的应用

一、引言

利用光电发射的管子，特别是装有微通道板的光电元件，都得到广泛的应用。这些元件包括像增强型、带有移像级光电摄像管（例如电子轰击硅靶管、二次电子导电靶管等）、高速光电信增益、X射线发射线和中子像变换管、高速摄影管等。所有这些研究的根本是光电阴极的基础研究。

实用光电阴极比较复杂，虽然这些阴极的性能不断得到改进，但有关机理问题仍在争论。进入70年代以后，表面分析仪得到广泛的应用，自然就有人把表面分析应用于光电阴极的机理研究或作为改正工艺的手段。就目前来看，虽已取得一些进展，但要解决机理问题，还有较大的距离。我在这里介绍一些情况，供同志们参考，并希望引起同行们的兴趣，开展我们的工作，来提高我们光电元件产品水平。限于水平，错误之处希望同志们指正。

二

二、多碱光电阴极的表面研究

我们在70年代总结了当时存在对多碱光电阴极表面结构的5种看法，并提出表面是本征层的设想^[1]。Ghosh等人同年也提出K₂Cs₂Sb本征层表面的设想^[2]。这些设想并没有用表面分析技术得到直接验证。由于表面科学技术对负电子亲和势材料研究的成功^[3, 4, 5]，就有人把此种技术用于多碱阴极研究。例如 Lindfors (1975)^[6] 的博士论文就是用俄歇电学能谱来证明含多碱Sb的碱金属锑化物表面能够存在自由态，从而否定了Kansky^[7]的论点。1977年 Dolizy 等人^[8]用俄歇能谱研究了杂质对多碱阴极光电发射的影响，这些杂质包括S、Cl、C、O等元素和碱金属本身，它们在制备时进入

层或沉积在表面上。这篇文章涉及的面很广，他们从X射线衍射结果提出基底可能是 Na_3Sb ，覆盖有 $\text{Na}_2\text{K}\text{Sb}$ 外延层，表面层转为 K_2CsSb 的模型。X射线三个实验并不能证明此模型成立，也太不精确而且不是真正的技术。

Holtom 等人^印用俄歇电子能谱对 $\text{S}20/\text{S}25$ 多晶光电阴极进行了表面研究。他们采用可供烤离离隔开两室超高真空间，一为分析室，另一为阴极制备室。分析室包括四根 LEED 分析仪，为剖面分析用的溅射离子枪，和则逸出功用的 Kelvin 探头。制备室除镁、钾、钠、铯源外还有石英晶体微天平，通过基底上的小孔来收集老套板材料，厚度是利用 $\text{Na}_2\text{K}\text{Sb}$ 的密度为 2.9 克/厘米³计算的。图 1 示出典型的 $\text{S}20/\text{S}25$ 的俄歇谱。Cs 的谱峰很强而 K 和 Sb 的谱峰小得多，虽然材料中 Na 很多，但看不到 Na 的谱峰。这可能是电子束轰击引起的。表 1 列举了 10 个样品的俄歇峰高比和它们的灵敏度。从表 1 可以看出，灵敏度高时，Cs 的相对含量少；而 S25 的 Cs 似乎稍多些。还发现初始 Sb 膜除 460 eV 谱峰还有 21 eV 的谱峰。当加入少量 Na 后 21 eV 的峰消失而出现 27 eV 峰。对 Cs 处理亦有类似的现象。如果假定表面偶极层中 Sb 原子有强的化学位移，这就可以解释位移特性与光电发射有关。

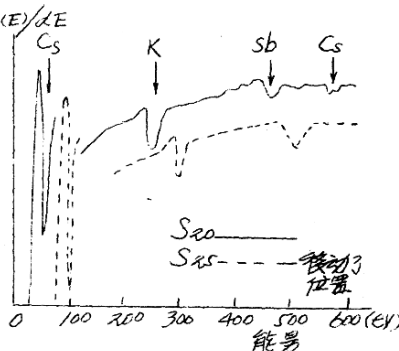


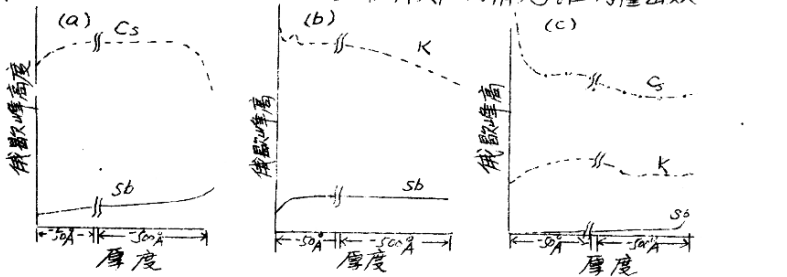
图 1 $\text{S}20/\text{S}25$ 的俄歇谱

表 1

光电阴极 类型	灵敏度 (UA lm ⁻¹)	俄歇谱峰高度比 $Cs(4f):K(2s0):Sb(4f0)$
S20	350	350:100:60
S20	250	466:100:66
SRU	215	385:100:40
SRD	200	416:100:43
S20	123	420:100:42
'S20'	54	1140:100:83
'S20'	40	1580:100:78
S25	~25	533:100:66
S25	225	714:100:71
S25	175	1000:100:80

的现象。未经位移的谱峰可能来自 Si 原子的正常键， 27eV 谱峰可能表示表面 $Cs-Sb$ 偶极子密度。

图 2 示出各种碱金属层化物阴极的俄歇剖面分布。剖面是用 1KeV 的氟离子刻蚀。这些结果的真实性由有差别溅射速率和撞击效应等因素所限制。在剖面分析中主要关心的是 Cs 的位置。在图 2(a) 中， Cs 和 Sb 基本上是均匀分布的。 K_3Sb 和 K_2CsSb (图 2(b)、(c)) 亦有类似的情况。任何撞击效



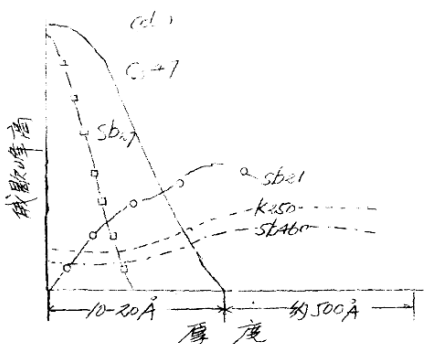


图3. 这种成金层铯化物的成膜剖面分布
(a) Cs_7Sb (b) K_2Sb
(c) K_2CsSb
(d) S_{20}/S_{25}

应会使跃迁变得模糊和使边界变宽，但并没有影响所获得的结论。 S_{20} 和 S_{25} 的剖面分析基本相同， Cs 集中于薄表面层，而在其他深度检测不到 Cs ，但不排除 Cs 作为杂质存在于体内。作为杂质，所用的仪皿不能检测。从离子束易分极测器和用膜厚监控仪，表面膜厚估计为 5 到 10\AA 。表面区中 Sb 的浓度更难以解释，因为有两种谱峰。 $\approx 1\text{eV}$ 谱峰的大小与 460eV 谱峰有好的关联，似乎可以用来测易 Sb 的剖面分布。相反， $\approx 7\text{eV}$ 谱峰与光电灵敏度密切相关。在性能差的光洁面上，它仅能觉察得出，而在最好的表面上，它是 Cs 谱峰一倍那么大，此谱峰的大小不能认为是 Sb 浓度的指示，因为它可能意味着是第一单层中的峰，对了低速出功表面，这是最靠不住的情况。当 Cs 从表面移去后，化学位移的 ($\approx 7\text{eV}$) 谱峰消失，和正常的谱峰迅速上涨。深度剖面揭露 S_{20} 和 S_{25} 表面含有约单层厚的 Cs 膜，紧接着的是 Sb 浓度增加了区域。

总之，Holton 等人认为 S_{20} 和 S_{25} 膜极的表面由 Cs -

SB 偶极层组成。从成谱研究示出，多碱层表面含 Cs 比 Cs_3Sb 少，(Cs_3Sb 的 $Cs : Sb$ 峰高比为 $15:1$)，但比 $K : CsSb$ ($Cs : K$ 的峰高比为 $2.5:1$) 大。

Stanford 大学 Clayton W. Bates Jr 教授等^[10]，用 X 射线电子能谱研究多碱锑化物光电阴极的结构，得出表面层由 $Na-K-Sb$ 基层之上厚约 30\AA 的 $K-Cs-Sb$ 及 $Na-K-Sb$ 组成。他们所用的系统见文献^[11]，并采用了 Scofield^[12] 的 Na、K、Cs、Sb 的灵敏因子以及理论光电子截面。所用表面均在超高真空 (约 1×10^{-10} 托) 中制备和分析。他们没有发现碳、氧以及其他杂质。他们研究了只含 $Na-K-Sb(Cs)$ 即 S-ZO 光电阴极，用各组分的特性谱的相对强度测得这些光

表 2

S (μA/cm)	E _T (eV)	γ_m (%)	相对于 $Sb 3d (L=19\text{\AA})$ 的表现原子密度						
			Na		K		Cs		
			2s	1s	2p	4d	3d	3p	
230	1.4	30.0	1.84	1.54	0.84	0.39	0.55	0.54	
220	1.5	32.0	1.69	1.15	1.40	0.72	0.81	0.95	
200	1.5	28.0	2.0	1.39	0.94	0.77	0.90	—	
180	1.4	29.0	1.69	1.36	0.82	0.51	0.75	0.74	
180	1.5	27.0	1.31	1.31	0.84	0.83	0.95	0.86	
140	1.5	24.0	1.69	0.98	1.52	0.37	0.49	0.60	
130	1.5	19.0	1.57	0.73	1.34	1.37	1.06	1.23	
70	1.6	10.5	1.75	1.35	0.85	0.97	0.45	—	
70	1.5	12.5	1.75	1.19	1.60	0.38	0.50	0.64	
65	—	—	1.84	1.19	1.46	0.48	0.59	—	
65	1.6	13.5	1.84	0.82	0.72	0.83	0.77	1.01	
60	1.6	13.5	1.65	1.15	0.70	0.56	0.71	0.80	

S — 光电灵敏度； E_T — 光电管； γ_m — 最大量子产额；
L — 逸出深度。

电极表面附近的成份。这些结果和它们的光电特性一起列于表八。所报导的数据通过XPS敏感因子或者对心的光电子峰的标准相对强度的计算得到Na_{1S}, Na_{2S}, K_{2P}等。对于与能层有关的光电子逸出深度，由于对碱金属锑化物元素的数据可资利用，他们采用Wagner^[17]建议的近似表达式。

根据表八得出：(a)这些光电阴极显得是由A₃SB形式的碱金属铯和锑化合物形成的；(b)在XPS逸出深度(约20Å)另级的表层以下的体内，Na的浓度显得是对应于Na₂K₂Sb的；(c)在XPS逸出深度另级的表面层内，Na的浓度比对应Na₂K₂Sb中的Na的浓度小得多。假定表面层由K₂Cs₂SB单独组成，则所观察到的Na_{1S}光电子(具有很短的逸出深度)的强度又太大了。若假定在表面层内没有钠，则表面层似乎比10Å薄得多。(d)Cs的XPS相对强度表明S_{2O}光电阴极的Cs含量比对应的单层要大得多(测得Cs 3d/Sb 3d时，Cs/Sb相对原子密度小于0.35)。掺合在体内的Cs至少有15Å厚。Cs 3p、3d、4d XPS峰的相对强度给出了在Cs和Sb原子密度大体相同之处假定表面层的厚度是XPS逸出深度(20~30Å)另级的可能性。这些结果与前人^[8]的结果符合得很好。但Na₂K₂Sb层上K₂Cs₂SB表面层的模型也存在一些问题，例如实验中发现在表面层中Na和Cs一起存在。考虑到高产额(约200μA/cm)光电阴极的表面层有高的Na含量，在S_{2O}工艺的最后一步，当Cs和Sb沉积到表面后，所有的元素都可能扩散。扩散速度按Cs、K、Na到Sb依次递减。设想表面层是K₂Cs₂SB和Na₂Cs₂SB；就可以很好地解释表八所列S_{2O}光电阴极的成份。然而实验说明Na₂Cs₂SB化合物是不稳定的，其原因是Na和Cs原子在尺度上差别太大，容易分裂为对应的单碱锑化物。因此这种阴

极可能是由 $\text{Na}_2\text{K}\text{Sb}$ 基层和一个约 30\AA 厚的 $\text{K}_2\text{Cs}\text{Sb}$ 表面层构成。由于 $\text{K}_2\text{Cs}\text{Sb}$ 具有较大的能隙和较低的光电感，而且因为 $\text{K}_2\text{Cs}\text{Sb}$ 表面层的形成涉及到强烈的金属从 $\text{Na}_2\text{K}\text{Sb}$ 体内向表面的扩散，故 $\text{Na}_2\text{K}\text{Sb}$ 和 $\text{K}_2\text{Cs}\text{Sb}$ 给出了高产额的多碱单化物光电阴极的最佳配合。

从以上介绍可以看出，从俄歇分析和X射线得出的结论是不同的。事实上各家的表面结构可能是不同的，特别是灵敏度低的时候，可能会有各种体态和表面结构的结合。这方面的研究工作可能还要走相当长的一段路。例如制成 $\text{Na}_2\text{K}\text{Sb}$ 单晶膜，再对它的表面进行研究就需要相当大的人力和经费。

三、银氧铯光电阴极的表面研究

银氧铯(S-1)阴极是第一种实用光电阴极，但它的发射机理还没有完全解决。我们曾提出银粒分散埋藏于 Cs_2O 半导体层中的理论，这能说明它的一些特性。至于它的表面结构，斯坦福大学 C. W. Bates Jr 教授和他的博生研究生进行过一些研究 [14, 15]。他们用 X 射线光电子能谱研究发现表面层有 Cs_{11}O_3 结构。他们认为此种阴极的结构是银粒分散埋藏于有表面层 Cs_{11}O_3 的 Cs_2O 层中。图 3 示出 (a) 加工未完的和已完的 S-1 阴极的电子产额和 (b) 相应的飞射线光电子发射 O 1s 原子芯谱。显然在加工未完的和已完的阴极存在两种氧，在 527.5 eV 的峰是由于 Cs_2O 中的氧，而 531.5 eV 的峰可归因于 Cs_{11}O_3 中的氧。当 Ag_2O 用铯还原后，出现金属银粒和 Cs_2O ，做 X 射线光电子能谱只能得到一种银谱，即金属银。可以测得在 527.5 eV 的 O 1s 谱峰，而测得的铯量比例接近 2:1。Bates Jr 教授测得的 $\text{Cs} 3d$ 谱峰的位置与 Ebbinghaus 和 Simon 未发表的结果 (针对 Cs_2O)

705.5 eV 行
合得很好。把 $\text{O} 1s$
 531.5 eV
谱峰归因于 Cs_{II}
 O_3 中的氧是基
于 Ebbinghaus
和 Simon 非常
仔细的研究结果。
他们给出此峰的
值为 $531 \pm 1 \text{ eV}$ 。
注意到对所有
铯亚氧化物的 Cs
 $3d$ 原子芯能级
谱有宽的不对称
峰，而 Cs_2O 和
铯过氧化物有尖
锐的对称的 $\text{Cs} 3d$
原子芯谱峰。Bates Jr
等人也观察到相
同的结果：

Bates Jr
等人的实验表明
 $\text{Cs}_{\text{II}}\text{O}_3$ 只存在
于表面层，当 Cs_2O 层厚度 $> 40 \text{ \AA}$ ， $\text{Cs}_{\text{II}}\text{O}_3$ 表面层为 $10\text{--}20 \text{ \AA}$ 。如用 $\text{He I } 21.2 \text{ eV}$ 共振线做紫外光电子能谱，只能测得 $\text{Cs}_{\text{II}}\text{O}_3$ ，因这种光电子的逸出深度只有几 \AA 。
从 Bates Jr 等人的实验证明表面上存在 $\text{Cs}_{\text{II}}\text{O}_3$ ，但

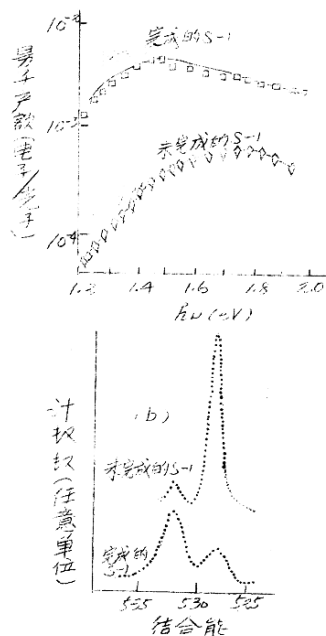


图3. (a) 完成的和未完成的
S-I 电子产额, (b)完成
的和未完成的 S-I 殼极
的 O 1s 原子实能级谱

是否一定存在 C_2 , C_3 表面层才能获得良好的 S-I 阴极还有待进一步证明。因为我们可以先制备 C_{50} 层然后蒸镀银而获得良好的性能，而且从固溶胶电理论也可以解释 1.2~4nm 波长仍有一定的光电发射。

4. 硅(100)面的原子结构

理想的 Si(100) 面上每个原子有两个悬挂键，由 LEED 图形中的较强的斑点可给出 (2×1) 结构。此外还有一些较弱的斑点，意味着 (4×2) 反相的存在。为了解释上述实验结果，曾设想如图 4 所示的几种再构模型，Chadi 认为采用不对称的配对模型可以比较好地说明实验结果^[46]。下面介绍了 D. Levine 的实验结果和解释。

硅(100)面可以制成员电子亲和势光电元件，而 Si 的其他面不能，因此对(100)面表面原子的排列的特点引起人们的兴趣。1973 年 J. D. Levine^[47] 提出它的模型如图 4(b)

所示。为了便于说明现在重新画出如图 5 所示。它的第一层原子每两行互相接近，因此出现“台脚”位置和“洞穴”位置，见图 5。它的四层原子结构如图 6 所示。如果此表面用氧处理，

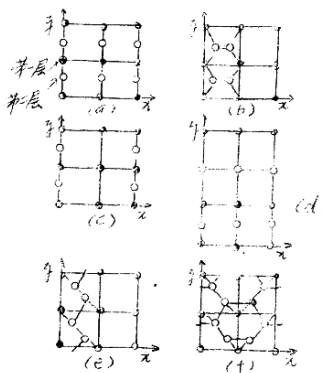


图 4 几种 Si(100) 的再构模型
 (a) 理想无缺陷；(b) 对称地配对；(c) 和 (d) 完全共键；(e) 对共轭键

则氧原子即可落在台脚位置上，也可落入洞穴位置，因氧原子半径较小，可以挤入第二层四面体空位子的中间。如果此圆环不称体系，则

是用绝
处理，
则绝原
子可以
落在台
脚位置
上，由

于绝原
子较大，
不能落
入洞穴
位置。

因此，
如此表
面先用

绝处理，
再用氯
处理，
则绝原
子在台脚

位置上，而氯可以进入未被占据的空穴位置，这样第一层上有氯原子，而第三层桂中间有氯原子，这样氯与绝之间可以形成表面积极层，从而形成负电荷和势。这种表面离子结构的关系如图7所示。

脚位置 (pedestal site)

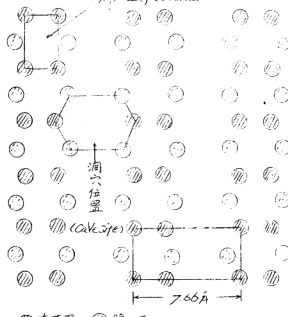


图5. Si 表原子 2×1 再构模型

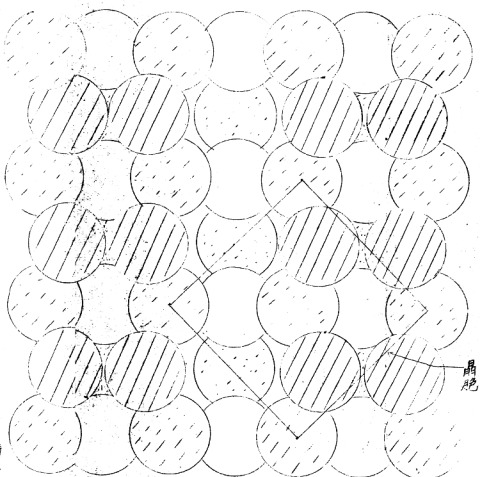


图6. Si(100) (4x4) 表面结构。
○表面层；○第二层；○第三层；○第四层；

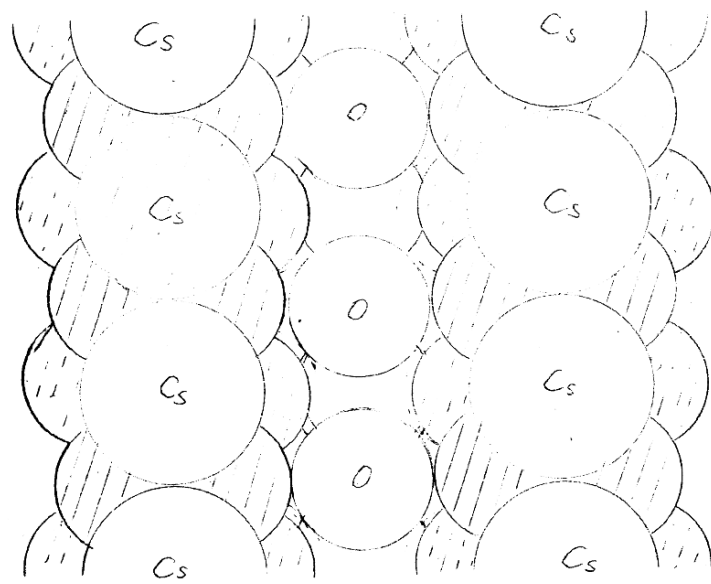


图7 Si(100)表面上用Cs, O激活

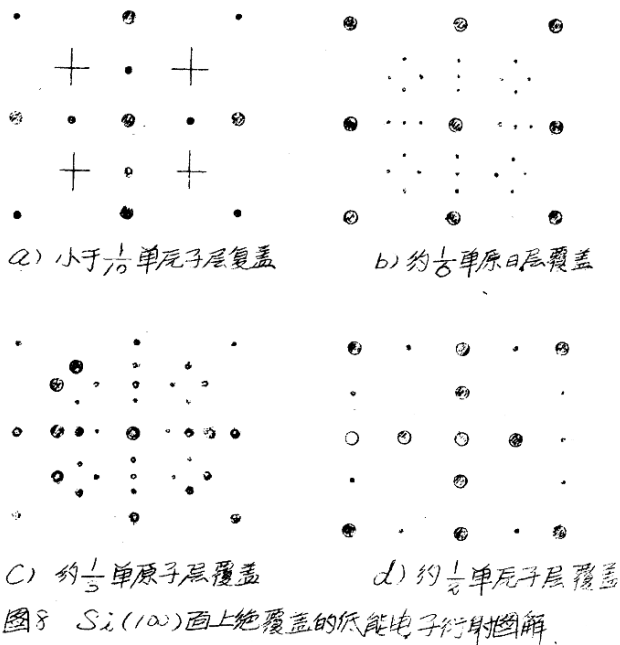


图8 Si(100)面上绝覆盖的低能电子衍射图样

如果先用氧处理，则洞穴位置中有氧原子，台阶位置上也有氧原子；如再用绝处理，则绝原子就不易占据台阶位置，因此就不能形成负电子亲和势。

由于Si(100)面的原子结构比较清楚，因此也就能说明Si(100)面出现负电子亲和势的原因。Si的其他面没有这种结构，也就也能形成负电子亲和势。

这里具体介绍硅(100)面上绝吸附过程的LEED图样。当绝吸附到原子清洁的(100)面上时，会出现各种衍射图样(参见图8)。

相应的绝覆盖率可以从能级能谱得出。图8中(a)相当于 $1/10$ 单原子绝层覆盖。如有差一层原子的台阶，则价键方向从向前并向左右转为向前并向上下，因此出现“+”线。垂直于短线方向看，短线通过 $(\frac{1}{3}, 0)$ 点，说明绝离子在一个方向严格限于 $\sqrt{3}$ 倍距离，而在该方向的垂直方向是无规的同距。图8(b)示出当覆盖程度增大，短线聚集于 $(-\frac{1}{3}, \frac{1}{3})$ 、 $(\frac{1}{3}, \frac{1}{3})$ 点和 $(\frac{1}{3}, 0)$ 和 $(-\frac{1}{3}, 0)$ 点。当开始辨认得出 $\frac{1}{3}$ 点和 $\frac{2}{3}$ 点时，它们的强度差不多。但铯吸附增加时，这两种点的强度就翻过来，如图8(c)所示。最后，接近到或未达到逸出功极小，所有 $\frac{1}{3}$ 、 $\frac{2}{3}$ 点消失，而LEED 表样回到清洁硅一样的衍射图，如图8(d)所示。

铯吸附使逸出功超过极小以后的衍射图见文献[9]，这里不再介绍，但应指出只是 $(\frac{1}{3}, 0)$ 点随逸出功增大而不断加强，这表示表面上更为有序。



(a) 无规地吸附在台脚上；



(b) Cs 覆盖 $1/6$ ；



(c). Cs 覆盖 $1/3$ ；



(d) Cs 覆盖 $1/2$ 。

图9. 对应于图8的Cs 覆盖模型。

前面的电子衍射花样可以用简单的模型来解释，如图9所示。图9(a)的情况，水平方向是无规的而垂直方向是两倍周期。图9(b)的结构可以产生 $(\frac{2}{3}, 0)$ 和 $(\frac{1}{3}, \frac{1}{3})$ 点，而 $\frac{2}{3}$ 点是二级反射。图9(c)的情况可以产生 $(\frac{2}{3}, 0)$ 和 $(\frac{1}{3}, \frac{1}{3})$ 点，但没有 $\frac{1}{3}$ 点，这样 $\frac{2}{3}$ 点的强度增加。图9(d)，当铯再增加时，三倍周期的发射逐渐消失，直到所有台脚位置都被铯离子占据。这是单原子层吸附的极限，达到负电子亲和势表面要求的铯层。随后铯的堆积将使逸出功增大。逸出功极小出现在 $\frac{1}{3}$ 单原子层之后，但难以确定逸出功极小的精确覆盖情况。

五. GaAs 表面的原子结构

砷化镓晶体有好几个表面都可以制成负电子亲和势表面。

常用的GaAs 负电子亲和势光电阴极是它的(110)面。此面的表面结构研究得比较多。目前已提出几种模型。这里作简单介绍。GaAs 晶胞按(110)面切开，把前半拿走，遗下的半晶胞如图10所示。

Ga○和As●的位置如图。(110)面上有相等数目的Ga和As原子。设想此(110)面就是表面，如果没有重构，

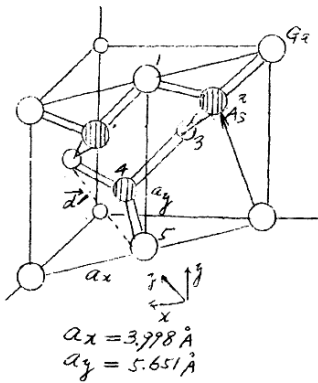


图10 GaAs 的(110)面和有关原子排列